



## کانی شناسی و شیمی- کانی تورمالین و گارنت در گرانیتوئید روستای ملاطالب (شمال الیگودرز) شمال غربی اصفهان

مهین منصوری اصفهانی\*، محمود خلیلی<sup>۲</sup>

۱- دانشکده مهندسی معدن، دانشگاه صنعتی اصفهان

۲- گروه زمین شناسی، دانشکده علوم، دانشگاه اصفهان

(دریافت مقاله: ۹۱/۴/۷، نسخه نهایی: ۹۱/۹/۲۰)

**چکیده:** گرانیتوئیدهای روستای ملاطالب به سن ژوراسیک میانی در پهنه‌ی سندج-سیرجان رخنمون دارد. این توده که در شمال غرب اصفهان واقع شده است بیشتر از دیوریت‌ها، تونالیت‌ها و گرانودیوریت‌های پرآلومینه دو میکایی تشکیل شده و شیل‌ها و اسلیت‌های ژوراسیک (لیاس-دوگر) را قطع کرده است. تورمالین و گارنت در شمار کانی‌های فرعی آشکار گرانودیوریت‌های این منطقه است. تورمالین‌ها نیمه شکل دار تا بدون شکل با چند رنگی قهوه‌ای تا سبز و گاهی آبی در بین دیگر کانی‌های این سنگ‌ها به مقدار نادر پراکنده‌اند. بر پایه‌ی داده‌ها و نمودارهای ژئوشیمیایی، تورمالین‌های مورد سخن دارای منطقه‌بندی ضعیف شیمیایی و طبیعت درآویت هستند که میزان Mg آن‌ها تا اندازه‌ای افزون بر محتوای Fe است. مقادیر سایر اعضای انتهایی تورمالین‌ها (شورلیت، اوویت، فوئیت) ناچیز است. تورمالین‌های Mg دار معمولاً در ارتباط با مجموعه‌های دگرگونی یا دگرنهاد است. خاستگاه نخستین این گونه تورمالین‌ها را می‌توان به سنگ‌های متا-رسوبی از قبیل متا-پلیت‌ها و متا-پسامیت‌های همزیست با یک فاز اشباع از Al نسبت داد. گارنت‌ها بی شکل و با رگچه‌هایی از بلورهای کوچک بیوتیت و یا مسکویت قطع و یا احاطه شده‌اند که در مواردی ادخال‌های بسیار کوچک این دو کانی را تشکیل می‌دهند. همچنین، به طور جزئی بلورهایی از کلریت در حواشی گارنت‌ها مشاهده می‌شود. ترکیب شیمیایی این کانی‌ها بیشتر از آلماندین است که در حاشیه از اسپسارتین نسبتاً غنی و از پیروپ تا حدودی تهی است. این منطقه بندی معکوس، ویژگی چشمگیر گارنت‌های دگرگونی با درجه‌ی بالاست و به تبلور این کانی در یک رژیم فشار با پایین اشاره دارد که غلظت بالای Mn مایعات پسمانده از ماگمای در حال تبلور موجب پایداری آن شده است. بر پایه‌ی داده‌های فوق، نهشته‌های پلیتی وابسته به ژوراسیک زیرین در اعماق نسبتاً کم تحت تأثیر دگرگونی ناحیه‌ای پیشرونده (رخساره آمفیبولیت بالایی- گرانولیت زیرین) قرار گرفته که ذوب بخشی گسترده‌ی متاپلیت‌ها را به همراه داشته است. گارنت‌های مورد بررسی از جمله فازهای فرومنیزین دار است که در و یا نزدیک به اوج دگرگونی تشکیل شده است.

**واژه‌های کلیدی:** گرانیتوئید؛ تورمالین؛ گارنت؛ شیمی- کانی؛ روستای ملاطالب؛ پهنه‌ی سندج - سیرجان.

### مقدمه

آن شرایط با کانی‌های اصلی تا اندازه‌ای با دشواری روبروست. بسیاری از عناصر نادر در کانی‌های فرعی جایگزین می‌شوند لذا این کانی‌ها رفتار این گروه از عناصر نادر را در جریان تبلور ماگما و رخداد‌های پس از تبلور همچون دگرسانی گرمایی،

کانی‌های فرعی در سنگ‌زایی ماگمای گرانیتی از اهمیت خاصی برخوردارند. وجود این کانی‌ها می‌تواند برخی از شرایط فیزیکی- شیمیایی حاکم بر تبلور ماگما را بیان کند که تفسیر

\* نویسنده مسئول، تلفن: ۰۳۱۱) ۳۹۱۵۱۰۷، شماره: ۳۹۱۲۷۷۶ (۰۳۱۱)، پست الکترونیکی: mmansouri\_2001@yahoo.com

های آذرین شدیداً کردند دار یافت می‌شود، به ذوب بخشی منابع رسوبی نسبت داده می‌شود [۸]. گارنت‌ها از جمله فراوان ترین کانی‌های با منطقه‌بندی شیمیایی در سنگ‌های دگرگون به شمار می‌روند که تفسیر صحیح روابط تعادلی آن‌ها برای بررسی سنگ‌های گارنت‌دار بسیار ضروری است. [۹] معتقدند گارنت‌هایی که در فرآیند دگرگونی پیشرونده متارسوبی‌ها متبلور می‌شوند در حاشیه از میزان اسپسارتین بیشتر و از مقدار پیروپ کمتری برخوردارند. این منطقه‌بندی وارون احتمالاً در جریان دگرگونی پسرورنده ایجاد شده که ضمن آن بخشی از گارنت به وسیله‌ی کلریت جایگزین شده است.

این پژوهش به توصیف ویژگی‌های سنگ‌نگاری و شیمی کانی‌شناختی دو کانی فرعی تورمالین و گارنت توده‌ی نفوذی روستای ملاطالب پرداخته است، تا بر پایه‌ی داده‌های حاصل بتوان به خاستگاه و سرشت این کانی‌ها و پیوند ژنتیکی احتمالی آنها با توده‌ی مورد پژوهش آگاهی یافت.

#### روش بررسی

مقاطع نازک این پژوهش با میکروسکوپ قطبشی Olympus مدل BH-2 مورد بررسی قرار گرفته است. آنالیز ریزپردازش کانی‌های تورمالین و گارنت به وسیله‌ی دستگاه مدل Cameca-SX50 در دانشگاه اکلاهوماستی آمریکا انجام گرفته است. داده‌ها با نرم‌افزار Spread Sheet بررسی و نیز نمودارهای شیمیایی به وسیله‌ی برنامه‌های Excel و Minpet ترسیم شده‌اند.

#### زمین‌شناسی منطقه‌ی مورد بررسی

توده‌ی نفوذی ملاطالب در شمال غرب اصفهان و نزدیک به روستایی به همین نام در شمال الیگودرز استان لرستان قرار دارد و از دیدگاه ساختار زمین‌شناسی در پهنه‌ی سندانج-سیرجان واقع شده است. این توده که سن آن به کرتاسه نسبت داده می‌شود [۱۰] در شیل‌ها، اسلیت‌ها و فیلیت‌های ژوراسیک نفوذ کرده و موجب دگرگونی این رسوب‌ها در حد رخساره‌ی آلبیت-اپیدوت هورنفلس شده است (شکل ۱). براساس بررسی-های سنگ‌نگاری و ژئوشیمیایی مهمترین سنگ‌های نفوذی این منطقه عبارتند از تونالیت و گرانودیوریت‌های دو میکایی. کانی-های مهم گرانودیوریت‌ها را کوارتز، پلاژیوکلاز، بیوتیت، فلدسپات‌های قلیایی و مسکویت و کانی‌های مهم تونالیت‌ها را کوارتز، پلاژیوکلاز، بیوتیت و آمفیبول تشکیل می‌دهند. سایر کانی‌ها چون آپاتیت و زیرکن به میزان ناچیز در تونالیت‌ها و

کانسارسازی، دگرنهادی و هوازگی ترسیم می‌کند [۱۱]. تورمالین و گارنت اگر چه در میان کانی‌های فرعی حجم اندکی از سنگ میزبان خود را تشکیل می‌دهند، ولی در بحث و تفسیر سنگ‌زایی ماگمای گرانیتی جایگاه ویژه‌ای دارند.

تورمالین کانی رایج گرانیتوئیدها، پگماتیت‌ها و سنگ‌های گرمایی وابسته به آن‌هاست [۱۲]. این کانی همچنین از شیبست-های پلیتی و پسامیتی سرزمین‌های دگرگون ناحیه‌ای و کمربندهای شدیداً چین خورده گزارش شده است [۱۳]. ترکیب شیمیایی متفاوت تورمالین‌ها شاخص روشنی است که در تفسیر پتروژنتیکی گرانیت‌ها بشمار می‌رود. ترکیب شیمیایی و منطقه‌بندی تورمالین‌ها بستگی به نوع، خاستگاه ماگما، سیال اولیه و نیز شرایط فیزیکی- شیمیایی حاکم بر تبلور این کانی سیلیکاتی بردار دارد.

بر پایه‌ی نظریه‌ی [۴]، تورمالین‌ها در سنگ‌های گرانیتوئیدی بیشتر به سری‌های شورلیت- البائیت و نسبتاً غنی از آهن وابسته‌اند. تورمالین‌های حاوی Mg و Fe با میزان فراوان Al که می‌توانند جایگزین  $Ti^{4+}$ ,  $Mn^{2+}$ ,  $Cr^{3+}$ ,  $Li^{1+}$ ,  $Fe^{3+}$ ,  $Fe^{2+}$ ,  $V^{3+}$ ,  $Mg^{2+}$  لویوکراتیک است [۱۵]. از آنجا که واکنش بین گدازه/ سیال و کانی‌های میزبان در هاله‌های مجاورتی توده‌های گرانیتوئیدی رخ می‌دهد لذا ترکیب تورمالین، شیمی ماگما، طبیعت سیال و نیز ویژگی‌های شیمیایی و کانی‌شناختی سنگ‌های میزبان را بازتاب می‌دهد. خاستگاه اصلی تورمالین نیز بر ترکیب شیمیایی این کانی تأثیرگذار است [۱۶]. تورمالین‌های ماگمایی معمولاً همگن، فاقد و یا دارای منطقه‌بندی ضعیف شیمیایی هستند. همچنین، نسبت  $Na/Na+Ca$  و میزان  $B_2O_3$  در آن‌ها بالا است. شرایط تبلور این نوع تورمالین‌ها در ماگمای شدیداً پر آلومینه با محتوای بالای آهن که احتمالاً از نهشته‌های B دار و غنی از Al حاصل شده فراهم می‌شود [۱۷]. تورمالین‌های گرمایی دارای منطقه‌بندی شیمیایی بوده و میزان Mg آنها نسبت به تورمالین‌های ماگمایی بیشتر و اصولاً از نوع محلول جامد شورلیت - دراویت هستند [۱۵].

گارنت نیز در برخی گرانیت‌ها و پگماتیت‌ها یافت می‌شود. در میان گونه‌های این کانی، اسپسارتین فراوان‌ترین گارنت پگماتیت-گرانیت‌هاست. آلماندین گارنت، کانی پاره‌ای از گرانیت‌های پرآلومین و نیز سنگ‌های نفوذی حدواسط و آهکی- قلیایی است که از بسیاری از نقاط دنیا گزارش شده است [۱۸]. خاستگاه این گونه از گارنت‌ها که معمولاً در سنگ-

چند رنگی قهوه‌ای تا سبز و گاهی به رنگ آبی است. به طور کلی این کانی ویژگی‌های کانی‌شناختی متغیری دارد، ولی چند رنگی‌های متنوع پلئوکروئیسزم معمولاً بیانگر تغییرات ترکیب شیمیایی تورمالین نیست. (علائم اختصاری در شکل-های میکروسکوپی بر اساس [۱۳] انتخاب شده).

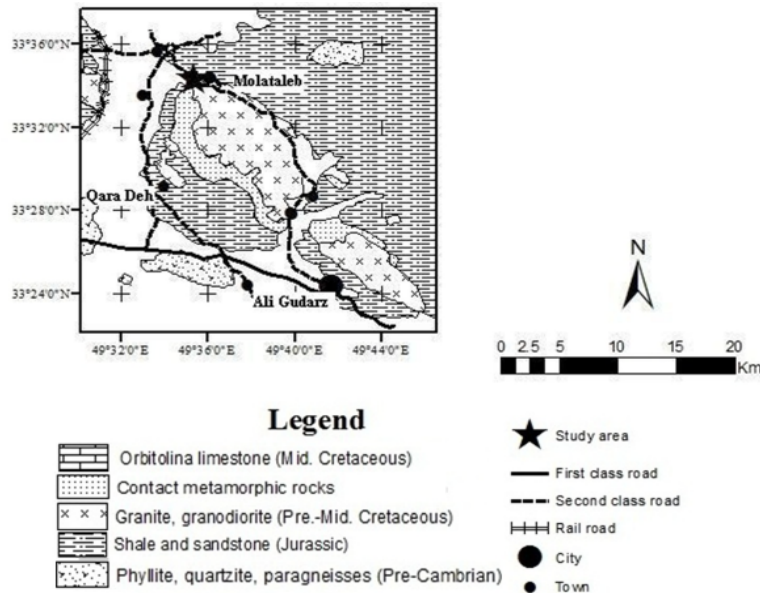
### گارنت

این کانی غالباً در ابعاد درشت تا ریزدانه، بدون شکل، خرد شده و دارای شکستگی است که این شکستگی‌ها را دو کانی بیوتیت و مسکوئیت پر می‌کنند. گارنت‌های مورد پژوهش بیشتر در جوار دو کانی اخیر و گاهی به همراه تورمالین یافت می‌شوند [۱۱]، و در مواردی از آن‌ها به کلریت دگرسان شده‌اند (شکل ۳).

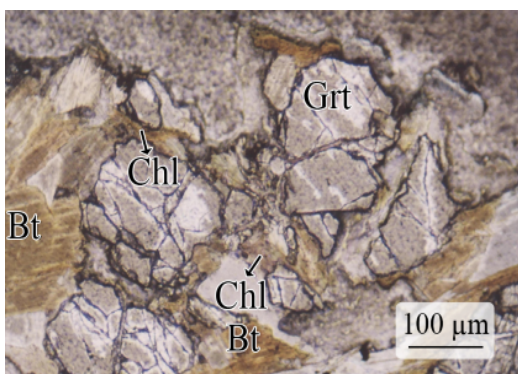
آپاتیت، زیرکن، آلانیت، گارنت و تورمالین در گرانودیوریت‌ها مشاهده می‌شوند. پیرامون توده‌ی گرانیتوئیدی بروزدهای پگماتیتهای با کانی‌های درشت تورمالین، کوارتز، فلدسپات و مسکوئیت پراکنده‌اند. بر مبنای بازدیدهای صحرایی و بررسی-های سنگ‌نگاری و نیز داده‌های ژئوشیمیایی [۱۱] گرانودیوریت‌های دو میکایی این منطقه را می‌توان در شمار گرانیت‌های نوع S و تونالیت‌های این توده را در گروه گرانیت‌های نوع I [۱۲] قرار داد.

### کانی‌شناختی کانی‌های فرعی تورمالین

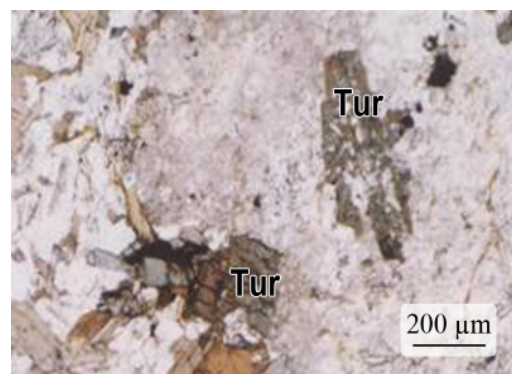
کانی تورمالین در ابعاد درشت تا متوسط، در مقطع طولی بدون شکل (شکل ۲) ولی در مقاطع عرضی گاهی مثلثی با گوشه-های گرد شده و نیمه شکل‌دار دیده می‌شود. این کانی دارای



شکل ۱ نقشه‌ی زمین‌شناسی منطقه‌ی مورد نظر (برگرفته از [۱]).



شکل ۳ حضور کانی‌های بیوتیت و کلریت بین شکستگی‌های گارنت، در نور PPL.



شکل ۲ بلورهای نیمه شکل و بی شکل تورمالین، در نور PPL.

## شیمی-کانی

## تورمالین

۴ نمونه از تورمالین‌های روستای ملاطالب مورد بررسی ریزپردازشی قرار گرفتند و فرمول ساختاری این کانی با فرض ۲۴/۵ اکسیژن محاسبه شد (جدول ۱). میزان  $B_2O_3$  برای ایجاد ۳ آنیون B به روش عنصرسنجی نیز محاسبه شده. فرمول عمومی تورمالین‌ها به صورت  $XY_3Z_6(T_6O_{18})(BO_3)_3W_4$  است [۱].

X = Ca, Na, K, [X-vacancy]

Y = Li, Mg,  $Fe^{2+}$ ,  $Mn^{2+}$ , Al,  $Cr^{3+}$ ,  $V^{3+}$ ,  $Fe^{3+}$ ,  $(Ti^{4+})$

Z = Mg, Al,  $Fe^{3+}$ ,  $V^{3+}$ ,  $Cr^{3+}$

T = Si یا Al, (B)

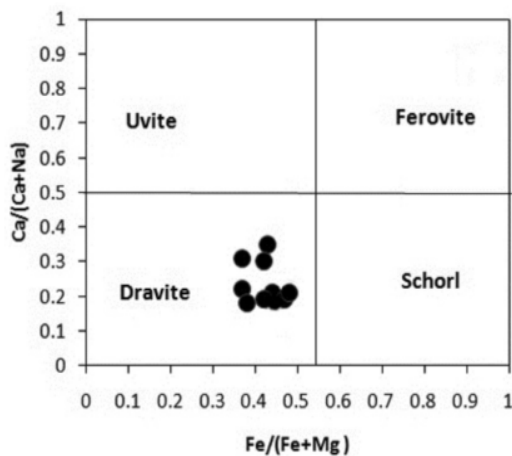
W = OH<sup>-</sup>, F<sup>-</sup>, O<sup>2-</sup>, Cl<sup>-</sup>

با استفاده از نمودار Ca/(Ca + Na) نسبت به Fe/(Fe+Mg) که به منظور تعیین سرشت تورمالین‌ها پیشنهاد شده [۱۴]، [۱۵]، تورمالین‌های مورد بررسی در گستره‌ی درایت قرار می-

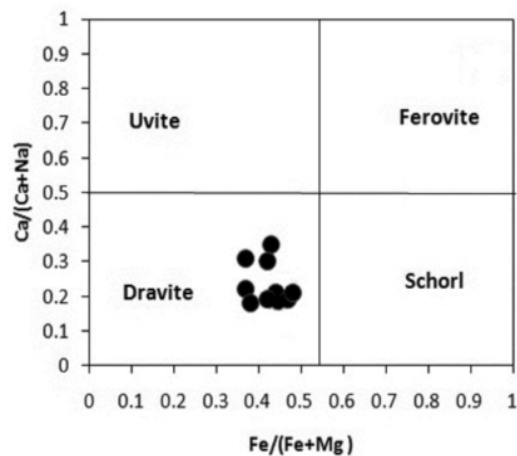
گیرند (شکل ۴). بر اساس داده‌ها، تغییرات اندکی در محتوای عناصر Mg و Fe در بخش‌های حاشیه و مرکزی تورمالین‌های مورد بحث دیده می‌شوند (جدول ۱). به عبارت دیگر، تورمالین‌ها دارای منطقه‌بندی ضعیف شیمیایی هستند و از دو عنصر یاد شده، مقدار Mg تا اندازه‌ای افزون بر میزان Fe است (جدول ۱) (شکل ۵). فراوانی اندک Ca حاکی از حضور مقدار بسیار ناچیز عضو پایانی تورمالین کلسیم‌دار (برای مثال اوویت است. مهمترین جانشینی عناصر شامل Al, Fe, Mg, Na, Ca است که توصیف این عناصر در شناخت تورمالین‌های سیستم-های گرمایی، از اهمیت ویژه‌ای برخوردار است. ترسیم نمونه‌ها در نمودار Al in R<sub>2</sub> نسبت به R<sub>2</sub>\* به جانشینی مقداری البائیت اشاره دارد (شکل ۶). فراوانی نسبی سدیم در این کانی، (۱/۳۹)  $(Na_2O > 1)$  سرشت قلیایی این تورمالین‌ها را نمایان می‌سازد [۱۶] (شکل ۷).

جدول ۱ نتایج آنالیز ریز پردازش تورمالین‌های منطقه‌ی مورد بررسی (بر حسب wt% بر اساس ۲۴/۵ اکسیژن).

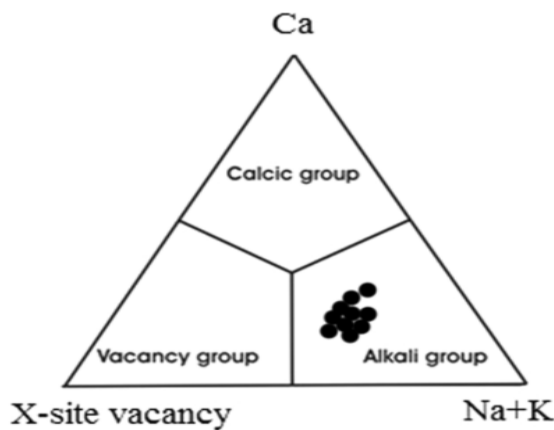
sample	Tur-1			Tur-2			Tur-3			Tur-4		
	حاشیه	میانه	مرکز	حاشیه	مرکز	حاشیه	مرکز	حاشیه	میانه	مرکز		
SiO <sub>2</sub>	۳۶۴۲	۳۶۷۹	۳۶۳۲	۳۶۶۷	۳۶۶۹	۳۶۱۱	۳۶۷۷	۳۶۴۸	۳۵۹۵	۳۵۷۲		
TiO <sub>2</sub>	۰۶۷۴	۱/۱۶۶	۰۶۴۲	۱/۰۷۱	۲۸۰۵	۰/۹۸	۰/۶۷	۰/۲۷	۰/۰۶	۰/۱۳		
Al <sub>2</sub> O <sub>3</sub>	۳۴۹۰۶	۳۱۹۸۳	۳۳۱۳۹	۳۳۵۳۶	۳۰۵۶۴	۳۳۶۴	۳۴۵۳	۳۵۶۶	۳۷۰۶	۳۷۰۷		
FeO	۷۲۷۲	۸۰۹۴	۷۲۳۰	۷۳۸۵	۷۷۴۸	۷۹۵	۷۳۲	۶۶۵	۶۳۴	۶۶۶		
MgO	۵۸۲۱	۷۰۴۸	۵۷۰۶	۶۱۱۳	۶۳۶۱	۶۰۱	۶۰۹	۶۰۵	۵۵۹	۵۳۵		
CaO	۰/۸۱۷	۱/۴۲۴	۰/۸۵۱	۰/۷۳۶	۰/۹۲۶	۱/۰۹۱	۰/۷۸۹	۰/۸۷	۱/۲۱	۱/۲۱۰		
MnO	۰/۰۳۱	۰/۰۲۵	۰/۰۵۱	۰/۰۴۵	۰/۰۶۸	۰/۰۵۸	۰/۰۷۴	۰/۰۵	۰/۰۷	۰/۰۷۰		
Na <sub>2</sub> O	۱/۶۵۴	۱/۶۸۸	۱/۶۹۰	۱/۸۲۰	۱/۷۷۳	۱/۶۸۷	۱/۶۸۷	۱/۵۳	۱/۵۰	۱/۳۹۰		
K <sub>2</sub> O	۰/۰۳۶	۰/۰۴۲	۰/۰۴۵	۰/۰۳۹	۰/۰۵۳	۰/۰۳۶	۰/۰۲۹	۰/۰۶	۰/۰۴	۰/۰۳۰		
B <sub>2</sub> O <sub>3</sub>	۱۰/۸۴۱	۱۰/۷۷۶	۱۰/۸۴۸	۱۰/۷۴۶	۱۰/۶۲۲	۱۰/۷۶۰	۱۰/۸۸۶	۱۰/۶۶۰	۱۰/۴۴۰	۱۰/۵۰۰		
F	۰/۱۱۰	۰/۱۴۰	۰/۰۹۰	۰/۲۱۰	۰/۱۹۰	۰/۲۵۰	۰/۴۱۰	۰/۲۸	۰/۲۹	۰/۳۲۰		
Total	۹۸/۵۶	۹۸/۹۴	۹۸/۶۱	۹۸/۰۳	۹۸/۰۴	۹۸/۵۹	۹۹/۳۰	۹۸/۵۰	۹۸/۴۴	۹۸/۶۲		
Si	۵/۸۳۶	۵/۸۹۷	۵/۸۲۰	۵/۸۷۸	۵/۸۸۰	۵/۸۳۳	۵/۸۷۱	۵/۸۳۹	۵/۷۲۰	۵/۷۱۵		
Al	۰/۱۶۴	۰/۱۰۳	۰/۱۸۰	۰/۱۲۲	۰/۱۲۰	۰/۱۶۷	۰/۱۲۹	۰/۱۶۱	۰/۱۷۰	۰/۲۸۵		
B	۳/۰۰۰	۳/۰۰۰	۳/۰۰۰	۳/۰۰۰	۳/۰۰۰	۳/۰۰۰	۳/۰۰۰	۳/۰۰۰	۳/۰۰۰	۳/۰۰۰		
Al(Z)	۶/۰۰۰	۶/۰۰۰	۶/۰۰۰	۶/۰۰۰	۵/۸۹۴	۵/۸۳۳	۶/۰۰۰	۶/۰۰۰	۶/۰۰۰	۶/۰۰۰		
Al(Y)	۰/۵۹۶	۰/۰۸۰	۰/۶۳۵	۰/۳۹۳	۰/۰۰۰	۰/۰۰۰	۰/۵۰۷	۰/۷۲۷	۰/۸۷۰	۰/۹۸۸		
Ti	۰/۰۸۱	۰/۱۴۱	۰/۰۷۷	۰/۱۳۰	۰/۳۴۵	۰/۱۱۹	۰/۰۸۱	۰/۰۳۲	۰/۰۰۷	۰/۰۱۶		
Mg	۱/۳۹۱	۱/۶۹۵	۱/۳۶۳	۱/۴۷۴	۱/۵۵۲	۱/۴۴۸	۱/۴۵۰	۱/۴۴۴	۱/۳۲۷	۱/۲۷۶		
Mn	۰/۰۰۴	۰/۰۰۳	۰/۰۰۷	۰/۰۰۶	۰/۰۰۹	۰/۰۰۸	۰/۰۱۰	۰/۰۰۷	۰/۰۰۹	۰/۰۰۱		
Fe	۰/۹۷۵	۱/۰۹۲	۰/۹۶۹	۰/۹۹۹	۱/۱۹۷	۱/۰۷۵	۰/۹۷۷	۰/۸۹۱	۰/۸۴۴	۰/۹۳۲		
Y total	۳/۰۴۷	۳/۰۱۱	۳/۰۵۱	۳/۰۰۲	۳/۱۰۳	۳/۶۵۰	۳/۰۲۵	۳/۱۰۱	۳/۰۵۷	۳/۲۱۲		
Ca	۰/۱۴۰	۰/۲۴۶	۰/۱۴۶	۰/۱۲۶	۰/۱۶۲	۰/۱۸۹	۰/۱۳۵	۰/۱۴۹	۰/۲۰۶	۰/۲۰۸		
Na	۰/۵۱۴	۰/۵۲۸	۰/۵۲۵	۰/۵۷۱	۰/۵۶۳	۰/۵۲۸	۰/۵۲۱	۰/۴۷۵	۰/۴۶۴	۰/۴۳۲		
K	۰/۰۰۷	۰/۰۰۹	۰/۰۰۹	۰/۰۰۸	۰/۰۱۱	۰/۰۰۷	۰/۰۰۶	۰/۰۱۲	۰/۰۰۸	۰/۰۰۷		
X total	۰/۶۶۲	۰/۷۸۲	۰/۶۸۰	۰/۷۰۵	۰/۷۳۶	۰/۷۲۴	۰/۶۶۲	۰/۶۳۶	۰/۶۷۸	۰/۶۴۷		
X-Vacancy	۰/۳۳۸	۰/۲۱۷	۰/۳۱۹	۰/۲۹۴	۰/۲۹۰	۰/۲۷۴	۰/۳۳۵	۰/۳۶۴	۰/۳۲۲	۰/۳۵۵		
Fe,Fe+Mg	۰/۴۱۲	۰/۳۷۹	۰/۴۱۵	۰/۴۰۴	۰/۴۳۵	۰/۴۲۶	۰/۴۰۲	۰/۳۸۱	۰/۳۸۹	۰/۴۱۹		
FeO <sup>+</sup> =FeO FeO+MgO	۰/۵۵۵	۰/۵۲۴	۰/۵۵۸	۰/۵۴۷	۰/۵۴۹	۰/۵۶۹	۰/۵۴۶	۰/۵۲۴	۰/۵۲۱	۰/۵۵۴		



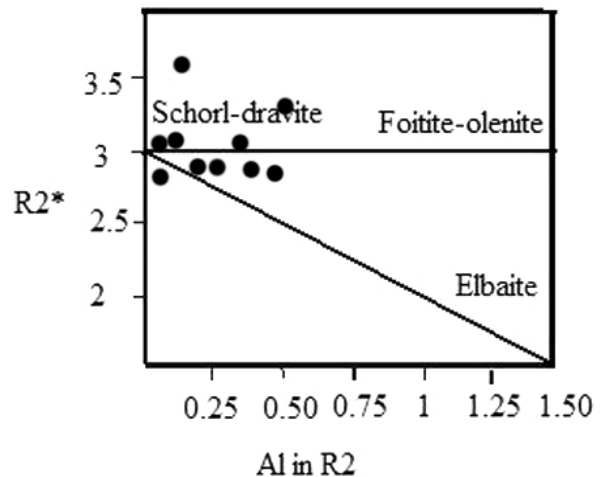
شکل ۵ تغییرات منطقه بندی شیمیایی تورمالین در گرانیتوئید منطقه ملاطاب R=Rim C=Core



شکل ۴ موقعیت کانی شناختی تورمالین بر اساس موقعیت X و Y با ترکیب دراویت [۱۴].



شکل ۷ موقعیت تورمالین‌های منطقه مورد بررسی با سرشت قلیایی [۱۴].



شکل ۶ موقعیت کانی شناختی تورمالین در نمودار R2\* در برابر Al in R2 [۵].

$$R2^* = Fe + Mg + Mn + Al$$

$$Al \text{ in } R2 = Al + 1.33Ti + Si - 12$$

اسپسارترین بیشتر و از پیروپ کمتر برخوردارند (شکل ۹). این گونه منطقه‌بندی ضعیف شیمیایی خاص گارنت‌های دگرگونی با درجه‌ی بالاست [۱۹، ۱۸].

### بحث

رفتار و انتشار ژئوشیمیایی B به عواملی چون طبیعت پروتولیت، تاریخچه‌ی گرمایی، تحرک سیالات، روابط شیمیایی بلورها و پایداری کانی‌های B دار بستگی دارد. میانگین B در شیل‌ها ۷۰-۲۵۰ ppm است [۲۰]، بنابراین به نظر می‌رسد کانی‌های رسی مهم‌ترین خاستگاه B در شرایط با دمای پایین باشند [۲۱].

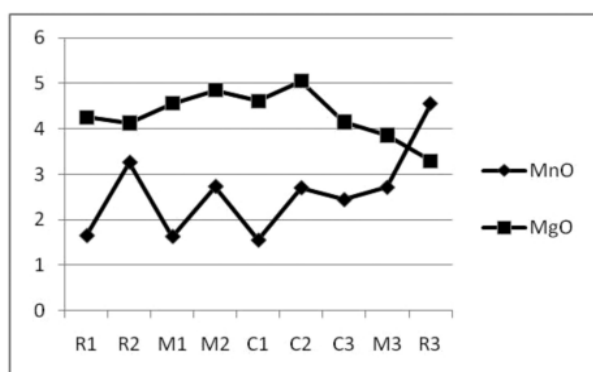
### گارنت

ترکیب شیمیایی گارنت‌ها با فرمول ساختاری عمومی  $R_3R_2(SiO_4)_3$  بیان می‌شود. در این فرمول  $R_3$  با کاتیون‌های  $Al, Fe^{+3}, Cr^{+3}$  و  $R_2$  با کاتیون‌های  $Ca, Mg, Fe^{+2}, Mn^{+2}$  اشغال می‌شود.

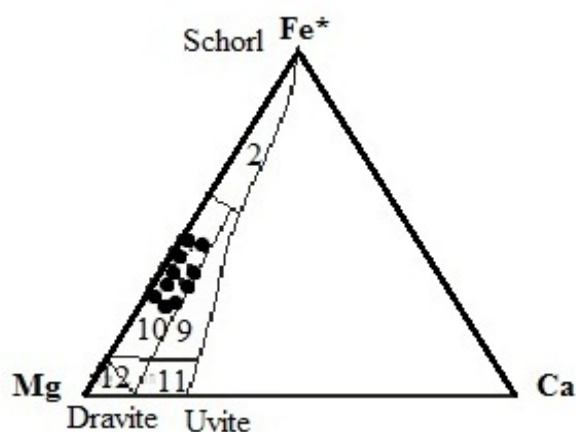
آنالیز ریزپردازشی روی سه نمونه از گارنت‌های گرانودیوریت‌های گسترده‌ی مورد بررسی صورت گرفت. داده‌های حاصل از بخش‌های مرکزی، میانه و حاشیه این کانی در جدول ۲ و شکل ۸ آورده شده‌اند [۱۷]. بر پایه‌ی این داده‌ها، طبیعت گارنت‌های این منطقه آلماندین است که در حاشیه از

جدول ۲ نتایج آنالیز ریز پردازش گارنت‌های منطقه‌ی مورد بررسی (بر حسب wt% بر اساس ۱۲ اکسیژن).

Sample	G-1			G-2			G-3		
	حاشیه	میانه	مرکز	حاشیه	میانه	مرکز	حاشیه	میانه	مرکز
SiO <sub>2</sub>	۳۶,۷۷	۳۶,۷۰	۳۶,۸۷	۳۷,۳۵	۳۷,۰۲	۳۷,۲۲	۳۶,۸۸	۳۶,۲۲	۳۶,۸۵
TiO <sub>2</sub>	۰,۰۶	۰,۰۶	۰,۰۷	۰,۰۳	۰,۰۰	۰,۰۰	۰,۰۲	۰,۰۰	۰,۰۲
Al <sub>2</sub> O <sub>3</sub>	۲۱,۵۶	۲۱,۶۳	۲۱,۹۸	۲۲,۰۳	۲۲,۰۵	۲۲,۱۳	۲۱,۶۲	۲۱,۹۲	۲۱,۶۲
FeO	۳۴,۴۹	۳۳,۸۲	۳۴,۲۵	۳۴,۰۹	۳۳,۴۷	۳۳,۵۸	۳۲,۹۹	۳۴,۶۸	۳۶,۵۰
MnO	۱,۶۵	۱,۶۳	۱,۵۵	۳,۲۶	۲,۷۳	۲,۷۰	۴,۵۵	۲,۷۱	۲,۴۴
MgO	۴,۲۵	۴,۵۶	۴,۶۱	۴,۱۳	۴,۸۵	۵,۰۵	۳,۲۹	۳,۸۶	۴,۱۵
CaO	۱,۶۱	۱,۶۵	۱,۶۳	۱,۲۹	۱,۲۵	۱,۲۶	۱,۵۱	۱,۵۵	۱,۵۵
Total	۱۰۰,۴۰	۱۰۰,۰۳	۱۰۰,۹۴	۱۰۱,۱۷	۱۰۱,۳۸	۱۰۱,۹۴	۱۰۰,۸۶	۱۰۰,۹۴	۱۰۱,۱۲
Si	۵,۸۸	۵,۸۷	۵,۸۵	۵,۸۷	۵,۸۴	۵,۸۴	۵,۹۰	۵,۷۹	۵,۸۶
Ti	۰,۰۰۸	۰,۰۰۷	۰,۰۰۸	۰,۰۰۳	۰,۰۰۲	۰,۰۰۰	۰,۰۰۳	۰,۰۰۰	۰,۰۰۳
Al	۴,۰۶۴	۴,۰۸۰	۴,۱۱۰	۴,۰۸۶	۴,۱۰۶	۴,۰۹۶	۴,۰۷۷	۴,۱۳۶	۴,۰۸۵
Fe	۴,۶۱۳	۴,۵۲۷	۴,۵۴۴	۴,۶۸۷	۴,۴۲۲	۴,۴۱۰	۴,۴۱۴	۴,۶۴۳	۴,۵۹۴
Mn	۰,۲۲۴	۰,۲۲۱	۰,۲۰۸	۰,۴۳۴	۰,۳۶۵	۰,۳۵۹	۰,۶۱۷	۰,۳۶۸	۰,۳۲۹
Mg	۰,۰۱۳	۱,۰۸۹	۱,۰۹۰	۰,۹۶۹	۱,۱۴۳	۱,۱۸۳	۰,۷۸۵	۰,۹۲۲	۰,۹۸۴
Ca	۰,۲۷۶	۰,۲۸۲	۰,۲۷۸	۰,۲۱۸	۰,۲۱۱	۰,۲۱۲	۰,۲۶۰	۰,۲۶۵	۰,۲۶۴
Total	۱۶,۰۷۹	۱۶,۰۸۰	۱۶,۰۸۸	۱۶,۰۷۵	۱۶,۰۹۷	۱۶,۱۰۶	۱۶,۰۵۸	۱۶,۱۳۳	۱۶,۱۲۷
Mn/Ca	۰,۸۱۱	۰,۷۸۳	۰,۷۴۸	۱,۹۹۱	۱,۷۲۹	۱,۶۹۳	۲,۳۷۳	۱,۳۸۹	۱,۲۴۶
(Mn+Mg)/Ca	۱,۲۸۳	۴,۴۶۵	۴,۶۶۹	۶,۴۳۵	۷,۱۴۷	۷,۲۷۳	۵,۳۹۲	۴,۸۶۸	۴,۰۵۶
Py	۱۶,۵۴۴	۱۷,۷۹۹	۱۷,۸۱۳	۱۵,۸۶۰	۱۸,۶۰۹	۱۹,۱۸۹	۱۲,۹۱۹	۱۴,۸۹۷	۱۵,۹۵۰
Alm	۷۵,۳۰۱	۷۳,۹۶۷	۷۴,۲۵۶	۷۳,۴۶۳	۷۲,۰۰۳	۷۱,۵۴۲	۷۲,۶۶۰	۷۴,۹۰۸	۷۴,۴۴۳
Gross	۴,۴۹۸	۴,۶۱۲	۴,۵۳۸	۳,۵۷۱	۳,۴۴۱	۳,۴۴۶	۴,۲۷۲	۴,۲۸۱	۴,۲۷۷
Spess	۳,۶۵۷	۳,۶۱۳	۳,۳۹۳	۷,۶۰۱	۵,۹۴۸	۵,۸۲۳	۱۰,۱۴۸	۵,۹۳۲	۵,۳۳۰



شکل ۹ تغییرات منطقه بندی شیمیایی گارنت در گرانیتوئید منطقه‌ی ملاطالب. C=Core R=Rim M=Middle



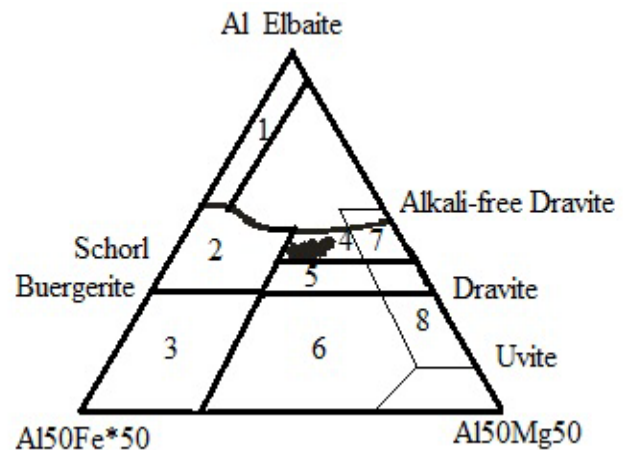
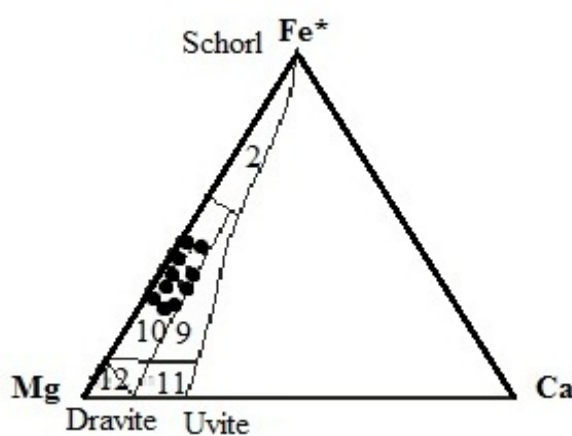
شکل ۸ ترکیب شیمیایی گارنت‌های منطقه‌ی ملاطالب روی نمودار سه گوش گارنت‌ها [۱۷].

می‌توان در گروه تورمالین‌های قلیایی جای داد (شکل ۱۰- الف). این کانی همچنین، دارای  $\sum(\text{Fe} + \text{Mg}) < 3$  و منطقه-بندی ضعیف شیمیایی است که حکایت از جانشینی Al در

تورمالین‌های گرانیتوئید روستای ملاطالب از نوع دراویت بوده و بیشترین میزان عناصر گروه X را Na و K تشکیل می‌دهند (جدول ۱) (شکل ۴). بر این اساس، تورمالین‌های مورد بحث را

شرایط دگرگونی درجه متوسط در مسکویت و تورمالین باقی می ماند و در شبه پلیت های رخساره ی آمفیبولیت بالایی، تنها فاز B دار تورمالین است و در شرایط رخساره ی آمفیبولیت بالایی-گرانولیت با متلاشی شدن تورمالین، B رها می شود. با توجه به آنچه گفته شد، ارتباط تنگاتنگ بین سنگ های تورمالین دار، گرانودیوریت های پر آلومین دو میکایی و خاستگاه شبه-رسوبی آنهاست [۲۶]. با توجه به پایداری تورمالین در شرایط رخساره ی آمفیبولیت بالایی، توده های گرانودیوریتی روستای ملاطالب به احتمال بسیار زیاد بر اثر ذوب بخشی نهشته های شبه پلیتی در شرایط رخساره ی آمفیبولیت بالایی-گرانولیت شکل گرفته اند [۱۱]. [۲۷] که ترکیب شیمیایی دو نوع تورمالین گرهرکی و نواری منطقه ی آستانه جنوب غربی اراک را مورد توجه قرار داده اند، معتقدند که تورمالین های گرهرکی ناشی از تأثیر گرماب های گرمابی و سیالات ماگمایی هستند، در حالیکه تورمالین های لایه ای دارای خاستگاه دگرنهادی در ارتباط با شبه پلیت ها و متاپسامیت هاست. براین اساس تورمالین های منطقه ی مورد پژوهش، خاستگاه مشابهی با تورمالین های نواری منطقه آستانه دارد.

موقعیت و جایگاه یون های گروه Y دارد. افزون بر این، مقدار Mg آن بر میزان Fe اندک فزونی نشان می دهد. نسبت  $FeO^* = FeO/FeO + MgO$  بیش از ۰/۸ در تورمالین ها بیانگر بسته بودن سیستم ماگمایی، عدم دخالت سیالات و آغستگی آن ها با ته نشست های غنی از Al است. در حالی که مقدار کمتر از ۰/۶ این نسبت دلالت بر یک خاستگاه خارجی B همراه با ته نشست های غنی از Al دارد [۲۲، ۲۳]. با توجه به اینکه میزان  $FeO^*$  در تورمالین های قلمرو مورد بررسی کمتر از ۰/۶ (۰/۵۲ تا ۰/۵۶) است، شیل ها و اسلیت های ژوراسیک زیرین را می توان به عنوان خاستگاه این کانی تصور کرد. در نمودارهای سه تایی Al-Mg-Fe و Mg-Ca-Fe که با هدف تعیین و تشخیص سنگ خاستگاه تورمالین ارائه شده، نمونه های مورد بحث در میدان شبه پلیت ها و شبه پسامیت های همزیست با یک فاز اشباع از Al قرار می گیرند [۲] (شکل ۱۰). بر این اساس، خاستگاه شبه رسوبی را می توان برای تورمالین های گرانیتوئیدهای منطقه ی ملاطالب پیشنهاد کرد. به عقیده [۲۴]، دارند در پاره ای موارد سنگ های دگرگون با درجه ی بالا از مقدار B فراوانی برخوردارند. [۲۵] بر این باورند که B در

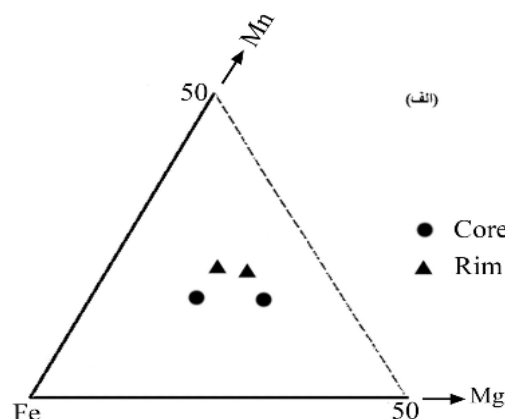
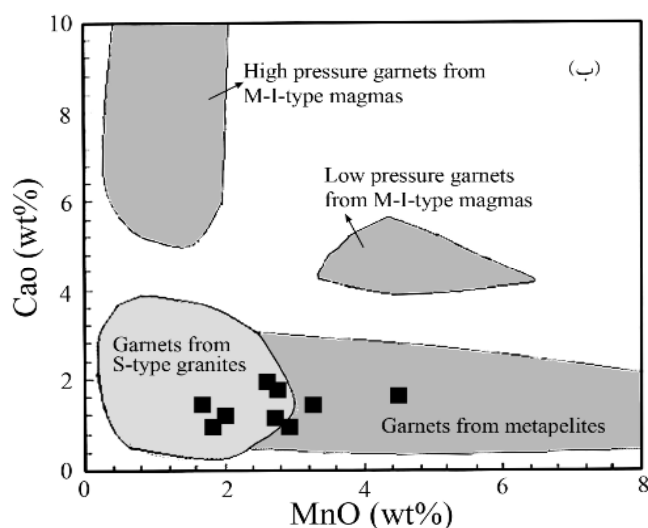


شکل ۱۰ موقعیت تورمالین های منطقه روی نمودارهای سه تایی Al-Fe-Mg و Ca-Fe-Mg [۲]. گرانیتوئیدهای سرشار از Li و پگماتیت ها و آپلیت های وابسته به آنها، ۲ - گرانیتوئیدهای فقیر از Li و پگماتیت ها و آپلیت های وابسته به آنها، ۳ - سنگ های کوارتز - تورمالین سرشار از  $Fe^{3+}$  (گرانیت های دگرسان شده گرمابی)، ۴ - شبه پلیت ها و متاپسامیت های همزیست با یک فاز اشباع از Al، ۵ - شبه پلیت ها و متاپسامیت های غیرهمزیست با یک فاز اشباع از Al، ۶ - سنگ های کالکوسیلیکاته، متاپلیت ها و سنگ های کوارتز - تورمالین سرشار از  $Fe^{3+}$ ، ۷ - الترامافیک های دگرگون شده با کلسیم پایین و متاسدیمنت های غنی از وانادیم و کروم، ۸ - متاکربنات ها و متاپروکسنیت ها، ۹ - سنگ های کالکوسیلیکاته، متاپسامیت ها و متاپلیت های سرشار از Ca، ۱۰ - سنگ های کوارتز - تورمالین، متاپسامیت ها و متاپلیت های فقیر از Ca، ۱۱ - متاکربنات ها، ۱۲ - متا الترامافیک های دگرگون شده.

ریخت‌شناسی بلوری گارنت عبارتند از، عناصر Mn، Ca و نسبت‌های Mn/Ca و (Mn+Mg)/Ca. همچنین، مقدار کاتیون Mg تأثیر ناچیزی بر پیکربندی بلوری گارنت دارد که با افزایش این نسبت‌ها به پیکره‌های ذوذنقه‌ای تغییر می‌کند. درجات پایین دما و فشار، Mn و Ca وارد ساختار گارنت شده و گروسولار و اسپسارتین همراه آلماندین تشکیل می‌شوند و میزان آلماندین با پیشرفت نوع دگرگونی افزایش می‌یابد [۳۰]. لذا گارنت‌های با خاستگاه دگرگونی غالباً دارای پیکربندی دوازده وجهی و گارنت‌های با خاستگاه آذرین اغلب پیکربندی با وج‌های ذوذنقه‌ای دیده می‌شوند. به بیان دیگر، ترکیب شیمیایی سنگ مادر گارنت‌ها از مهمترین عوامل تأثیرگذار در ترکیب شیمیایی این بلورها و به پیروی از آن پیکربندی بلوری گارنت است. بر پایه‌ی بررسی‌های کانی‌شناختی و یافته‌های ژئوشیمیایی، میزان پایین نسبت‌های فوق و نیز میانگین محتوای CaO (۱/۴۸ درصد) در گارنت‌های گرانیتوئیدی منطقه‌ی ملاطالب حاکی از خاستگاه دگرگونی این فاز بوده و نیز پیکربندی دوازده وجهی آن‌ها را آشکار می‌سازد (جدول ۲) (شکل ۱۳). براساس این ویژگی‌ها و نیز درصد بالای آلماندین، گارنت‌های مورد پژوهش را می‌توان در رده‌ی گارنت‌های دگرگون با درجه‌ی بالا به شمار آورد که به احتمال بسیار زیاد در جریان تشکیل گرانودیوریت‌های پراآلمینه دو میکایی در شرایط رخساره‌ی دگرگونی آمفیبولیت بالایی-گرانولیت زیرین به وجود آمده‌اند [۱۱] (شکل ۱۱-ب).

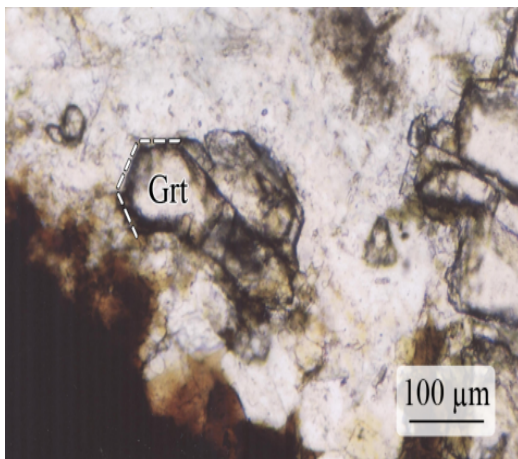
داده‌های آنالیز ریزپردازشی حاکی از طبیعت آلماندین گارنت‌های مورد بحث است. این گونه گارنت بیشتر در سنگ‌های آذرین به شدت پراآلمینه که خاستگاه آن‌ها را به ذوب بخشی سنگ‌های رسوبی نسبت می‌دهند، یافت می‌شود [۸]. آلماندین در دگرگونی‌های درجه‌ی بالا، دارای ترکیب نسبتاً یکنواختی است و منطقه بندی شیمیایی محدود به بیرونی‌ترین قسمت‌های حاشیه است [۲۸] (شکل ۱۱-ب). برخی پژوهشگران [برای مثال ۱۸]، مسئله‌ی کاهش اکسید کلسیم و اکسید منگنز گارنت را در سنگ‌های پلیتی با افزایش درجه‌ی دگرگونی، مورد بررسی قرار دادند و معتقدند که تبلور گارنت در منطقه‌ی مورد بررسی آنها با مقدار پایین MnO (۲/۵۴-۱/۸۶ درصد) و CaO (۱/۵۸-۰/۳۸ درصد) (جدول ۲) در شرایط P-T رخساره‌ی دگرگونی آمفیبولیت بالایی-گرانولیت زیرین به وقوع پیوسته است. از منظر کانی‌شناختی، گارنت‌های دگرگونی اصولاً بی‌شکل‌اند که نشانه‌ی عدم رسیدن به تعادل شیمیایی است و دارای ادخال‌های بیوتیت هستند که حاکی از رشد آن در حالت جامد است نه تبلور از یک گدازه‌ی سیلیکاتی. افزون بر این، بسیاری از این گونه گارنت‌ها دارای حاشیه واکنشی گسترده‌ای هستند که دلالت بر عدم تعادل آنها با گدازه‌ی سیلیکاتی در زمان نفوذ دارد (شکل ۱۲) [۲۹].

[۳۰] عوامل مؤثر بر ریخت‌شناسی بلورهای گارنت در سنگ‌های دگرگون و آذرین منطقه‌ی همدان را مورد بررسی قرار داده‌اند، بر این باورند که مهمترین عامل تأثیرگذار بر

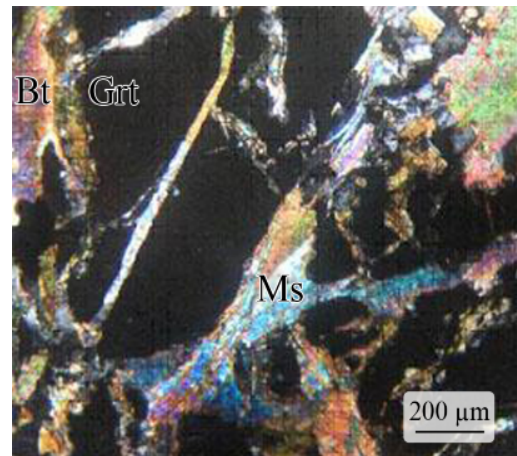


شکل ۱۱ الف) افزایش Mn و کاهش Mg در حواشی بلورهای گارنت، ب) موقعیت خاستگاه گارنت‌های موجود در گرانیتوئید ملاطالب (برگرفته از [۲۹]).





شکل ۱۳ نمایی از فرم شش ضلعی بلور گارنت که به پیکربندی دوازده وجهی آن اشاره دارد، در نور PPL.



شکل ۱۲ حضور کانی‌های بیوتیت و مسکویت در حواشی و نیز به صورت ادخال در گارنت، در نور XPL.

سنگ‌های رخساره‌ی پلیتی و نزدیک به اوج دگرگونی رخ داده است.

بر پایه‌ی داده‌های حاصل از شیمی -کانی دو کانی تورمالین و گارنت تشکیل گرانودیوریت‌های دو میکایی شبه آلومین گسترده‌ی تحت پژوهش، به احتمال بسیار زیاد بر اثر آناتکسی نهشته‌های شبه- پلیتی به سن ژوراسیک زیرین در شرایط رخساره‌ی گرانولیت رخ داده است. بدیهی است تفسیر جامع خاستگاه ماگماتیسم گسترده‌ی مورد بررسی نیازمند داده‌های دقیق شیمیایی از سنگ‌های گرانیتوئیدی منطقه است.

#### مراجع

- [۱] اتردی س. "کانی شناسی سیلیکات‌ها"، انتشارات دانشگاه پیام نور (۱۳۷۸) ۲۹۱.
- [2] Henry D.J., Guidotti C.V., "Tourmaline as a petrogenetic indicator mineral: an example from the staurolite grade metapelites of NW-Marine", *American Mineralogist*, 70 (1985) 1-15.
- [3] Harraz H. Z., El-Sharkawy M. F., "Origin of tourmaline in the metamorphosed Sikait pelitic belt, south eastern desert, Egypt", *Journal of African Earth Sciences*, 33 (2001) 391-416.
- [4] Deer W.A., Howie R.A., Zussman J., "Rock forming mineral", Longman, (1) (1966) 333.
- [5] London D., Manning D.A.C., "Chemical variation and significance of tourmaline from SW England", *Economic Geology*, 90 (1995) 495-519.
- [6] Novak M., Povandra P., Selway J.B., "Schorl-oxy-schorl to dravite-oxy-dravite tourmaline from granitic pegmatite, examples from the Moldanubicum, Czech Republic", *European Journal of Mineralogy*, 16 (2004) 323-333.

#### برداشت

براساس بررسی‌های کانی‌شناختی و شیمی-کانی تورمالین و گارنت توده‌ی نفوذی روستای ملاطالب می‌توان به نکات مهم زیر اشاره کرد:

تورمالین‌های مورد پژوهش از نوع دراویت بوده و منطقه بندی ضعیف شیمیایی دارند. نسبت‌های  $Ca/(Ca+Na)$  (۰/۲۰۶ تا ۰/۳۵۵)،  $Fe/(Fe+Mg)$  (۰/۳۷۹ تا ۰/۴۳۵) و میزان  $Mg$  نسبت به  $Fe$  در آن‌ها بالاست. مقدار کم  $Ca$  حاکی از حضور مقدار اندک عضو پایانی تورمالین کلسیم‌دار (برای مثال اویت  $[Ca(Fe, Mg)(Na, Al)]$  در ساختار تورمالین‌های منطقه‌ی مورد بررسی است. افزون بر این، مقدار نسبتاً بالای  $Na_2O$  در آن‌ها، این کانی را در شمار تورمالین‌های گروه قلیایی قرار می‌دهد. این نوع تورمالین‌ها معمولاً با مجموعه‌های دگرگونی و یا دگرنهادی در ارتباطند و سنگ‌های شبه- رسوبی (برای مثال شبه- پسامیت‌ها و شبه- پلیت‌ها) را به عنوان سنگ اولیه‌ی این گونه تورمالین‌ها معرفی می‌کند. تورمالین تنها فاز B دار شبه- پلیت‌های رخساره آمفیبولیت بالایی شناخته می‌شود که در شرایط آمفیبولیت بالایی- گرانولیت متلاشی شده و B را آزاد می‌کند.

گارنت‌های بی شکل را رگچه‌هایی از بلورهای ریز میکا (بیوتیت و مسکویت) قطع و یا احاطه کرده‌اند و گاهی ادخال-هایی از بیوتیت درون آن‌ها یافت می‌شود. بر پایه‌ی داده‌های شیمیایی، گارنت‌های مورد بررسی از نوع آلماندین است که افزایش اسپسارتین و کاهش پیروپ در حاشیه‌ی بلورها چشمگیراند و نیز محتوای اندکی از  $MnO$  و  $CaO$  دارند. این ویژگی‌ها حاکی از آنست که نطفه بندی این نوع گارنت‌ها در

- rocks in the Swiss Central Alps.", American Mineralogists, 81 (1996) 1222-1236.
- [21] Henry D.J., Dutrow B.L., "Metamorphic tourmaline and its petrologic applications. In: Grew Es. Anovitz LM (eds) Boron. Mineralogy, Petrology and Geochemistry. The Mineralogical Society of America, Washington, Dc.", Review Mineralogy 33 (1996) 503-557.
- [22] Samson I.M., Sinclair W.D., "Magmatic hydrothermal fluids and the origin of quartz-tourmaline orbicules in the Seagull batholith, Yukon Territory", Canadian Mineralogists, 30 (1992) 937-954.
- [23] Truscott M.G., Shaw D.M., "Boron in chert and Precambrian siliceous iron formation", Geochimica et Cosmochimica Acta, 48 (1984) 2220-2313.
- [24] Torres-Ruiz J., Pesquera A., Gil-Crespo P.P., Velilla N., "Origin and petrogenetic implication of tourmaline-rich rocks in the Sierra Nevada (Betic Cordillera, Southeastern Spain)", Chemical Geology, 197 (2003) 55-86.
- [25] Wolf M.B., London D., "Boron in granitic magmas stability of tourmaline in equilibrium with biotite and cordierite", Contribution to Mineralogy and Petrology, 130 (1997) 12-30.
- [26] Gaweda A., Pieczka A., Kraczk J., "Tourmalines from the Western Tatra Mountains (W-Carpathians, S-Poland): Their characteristics and petrogenetic important", European Journal of Mineralogy, 14 (2002) 943-955.
- [۲۷] طهماسبی ز، احمدی خلجی ا، رجاییه م، "تورمالین‌زایی در توده‌ی گرانیتوئیدی آستانه (جنوب غرب اراک)", مجله بلورشناسی و کانی شناسی ایران، شماره ۳ (۱۳۳۸) ۳۶۹-۳۸۰
- [28] Yardley B.W.D., Rochelle C.A., Barnicoat A.C., Lloyd G.E., "Oscillatory zoning in metamorphic mineral: an indicator of infiltration metasomatism", Mineralogical Magazine, 55 (1991) 357-365.
- [29] Yuan C., Sun M., Xiao W., Wilde S., Li X., Liu X., Long X., Xia X., Ye K., Li J., "Garnet-bearing tonalitic porphyry from East Kunlun, Northeast Tibetan Plateau: implications for adakite and magmas from the MASH Zone", International Journal of Earth Sciences (Geol Rundsch), 98 (2009) 1489-1510.
- [۳۰] حسین میرزائی ز، سپاهی ع.ا، مؤذن م، حسین میرزائی ز، دادخواه ر، "بررسی عوامل کنترل کننده‌ی ریخت شناسی بلورهای گارنت در سنگ‌های دگرگون و آذرین منطقه همدان"، مجله بلورشناسی و کانی‌شناسی ایران، شماره ۴ (۱۳۸۹) ۵۱۹-۵۳۰.
- [7] Bernard F., Moutou P., Pichavant M., "Phase relation of tourmaline leucogranites and the significance of tourmaline in silicic magma" Journal of Geology, 93 (1985) 271-291.
- [8] Clemens J.D., Wall V.J., "Origin and crystallization of some peraluminous (S-type) rhyolitic Magmas", Contribution to Mineralogy and Petrology, 19 (1981) 111-131.
- [9] Brich W.D., Andrew J., Gleadow W., "The genesis of garnet and cordierite in acid volcanic rocks, Central Victoria, Australia", Contribution to Mineralogy and Petrology, 45 (1974) 1-13.
- [10] Thiele O., Alavi M., Assefi R., Hushmand-Zadeh A., Seyed-Emami K., Zahedi M., "Explanatory text of the Golpayegan quadrangle map. 1:250000", Geological Survey Iran, (1968) 3-24.
- [۱۱] عبداللهی ش، "مطالعه‌ی پترولوژی توده نفوذی روستای ملاطالب (شمال الیگودرز) پهنه ی سنندج- سیرجان"، پایان نامه کارشناسی ارشد دانشگاه اصفهان (۱۳۸۸) ۱۲۴.
- [12] Chappell B.W., white A.J.R., "Two contrasting granite types", Pacific Geology 8 (1974) 173-174.
- [13] Kretz R., "Symbols for rock-forming minerals", American Mineralogists 68 (1983) 277-279
- [14] Hawthorn F.C., Henry D.J., "Classification of the mineral of the tourmaline group", European Journal of Mineralogy, 11 (1999) 201-215.
- [15] Hawthorn F.C., "Bond-valance constraints on the chemical composition of tourmaline", Canadian Mineralogists, 40 (2002) 789-797.
- [16] Collins A.C., "Mineralogy and geochemistry of tourmaline in contrasting hydrothermal system, Coplapo area, Northern Chile", PhD Thesis, Faculty of Geoscience University of Arizona (2010).
- [17] Einaudi M.T., Meinert L.D., Meinert R.J., "Newberry skarn deposit", Economic Geology, 75th Anniversary special volume (1981) 317-391.
- [18] Atherton M.P., "The variation in garnet, biotite, and chlorite composition in medium-grade pelitic rocks from the Dalradian, Scotland, with particular reference to the zonation in garnet", Contribution to Mineralogy and Petrology, 18 (1968) 347-371.
- [19] Taylor J., Setevens G., "Selective entrainment of peritectic garnet into S-Type granitic magmas: Evidence from Archean mid-crustal anatexites", Lithos, 120 (2010) 277-292.
- [20] Seprlich R., Giere R., Frey M., "Evolution of compositional polarity and zoning in tourmaline during prograde metamorphism of sedimentary